

BaTiO₃의 유전성에 미치는 Dy₂O₃의 영향

윤기현, 송효일

연세 대학교

(1982년 9월 10일 접수)

Effect of Dy₂O₃ on Dielectric Properties of Barium Titanate

Ki-Hyun Yoon and Hyo-Il Song

Yonsei University.

(Received Sept. 10, 1982)

ABSTRACT

The effect of the additive on dielectric properties of BaTiO₃ containing 0~0.30 mol% Dy₂O₃ was investigated function of frequency from 5×10^4 to 0.3×10^7 cps and temperature from 25 to 125°C. The dielectric constant increased with increasing Dy₂O₃ concentration from 0 to 0.05 mol % due to space charge polarization. However, the dielectric constant decreased for further increase of Dy₂O₃ concentration due to density increase. The dielectric constant exhibits rapid change at the Curie temperature and the Curie temperature drops from 122 to 116°C with increasing amount of Dy₂O₃ concentration.

1. 서 론

높은 전압 축전기용으로 사용할 수 있는 높은 유전상수를 갖는 재료를 개발할 목적으로 BaTiO₃에 란탄계 원소 혹은 탄탄계 산화물을 첨가하여 첨가재로 인한 유전성의 변화를 몇몇 연구자들이^{1,2)} 보고한 바 있다. 일반적인 소결법에 의한 BaTiO₃에 첨가제의 첨가는 첨가제로 인한 BaTiO₃의 결정 성장속도, Ba²⁺ 및 Ti⁴⁺와 첨가제의 이온 반경의 차이 그리고 첨가제의 원자 가로 인한 controlled valency principle에 의한 화학량론으로부터의 편리 등으로 크게 영향을 받는다. 본 연구에서는 BaTiO₃의 결정 성장을 억제할 것으로 예상되는 Dy₂O₃를 첨가시켜 첨가제가 BaTiO₃의 유전성이 어떠한 영향을 미치는가를 온도 및 주파수를 변화시킴으로서 측정하였다.

2. 실험

1. 시편 제조

시편 제조에 사용한 BaCO₃ 및 TiO₂는 99.9%의 특급 시약(일본 고준도 화학연구소)이며 첨가제는 99.98

%의 순도를 갖는 Dy₂O₃ (American Potash & Chemical Co.)를 사용하였다. BaTiO₃의 합성은 일반적인 방법으로 즉 BaCO₃와 TiO₂를 1:1의 물비로 잘 혼합하여 1000°C에서 4, 7, 10 및 14시간 가열하였는데 14시간 가열하였을 때 BaTiO₃만이 생성되었다. 이렇게 만든 BaTiO₃에 Dy₂O₃의 첨가 및 시편 제조 과정은 이미 발표된 본 연구자들의 논문³⁾에 자세히 언급된 방법대로 하였다. 이렇게 만든 시편을 잘 연마한 다음 아세톤 및 증류수로 세척한 후 전조시켰다. 전조된 시편의 양면에 silver paste를 바른 후 400°C에서 25분간 가열하여 유기 물질을 제거하고 750°C에서 10분간 유지 후 서냉하였다. 시편의 양면에 구리선을 부착하여 절극을 만들었다.

2. 측정

밀도 측정은 KSL 3114에 의거하였으며 유전 상수 및 유전 손실의 측정은 Q-meter (Hewlett Packard Co., Model 4342A)를 사용하였다. 한편 온도 변화에 따른 유전성의 측정은 그림 1과 같은 장치를 사용하였으며 시편의 표면의 미세 구조의 관찰은 SEM(Hitachi Co., Model 450)을 사용하여 관찰하였다.

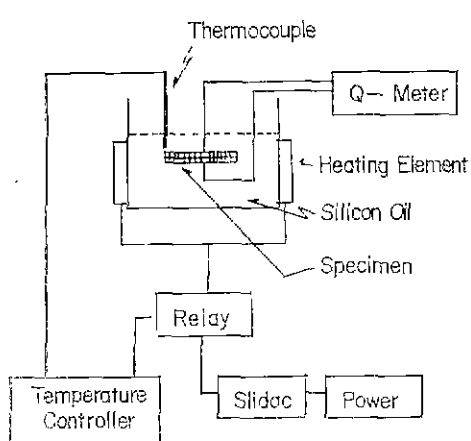


Fig. 1 Schematic drawing of the silicon oil bath for measurement of dielectric properties.

3. 결과 및 고찰

그림 2에서 보는 바와 같이 BaTiO₃에 Dy₂O₃의 첨가량이 증가함에 따라 밀도는 증가하였다. 그림 3과 4에서 보는 바와 같이 낮은 주파수 범위에서 순수한 BaTiO₃는 유전 상수 및 유전 손실에 큰 변화를 보여주지 않았으나 Dy₂O₃를 첨가한 시편에서는 주파수가 증가함에 따라 큰 감소를 보여준다. 특히 Dy₂O₃의 첨가량이 0.05mol% 까지 증가함에 따라 유전 상수 및 유전 손실이 증가하다가 Dy₂O₃의 첨가량이 더 증가함에 따라 규칙적으로 감소하는 경향을 보여준다. 그림 5와 6은 온도 변화에 따른 유전상수 및 유전 손실의 변화를 그린 것으로 116~122°C에서 급격한 변화를 보여준다. 그림 7은 첨가제의 양이 증가함에 따라 grain size

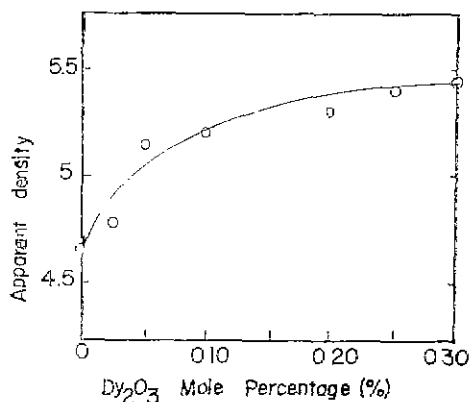


Fig. 2 The apparent density of pure BaTiO₃ and Dy₂O₃ doped BaTiO₃.

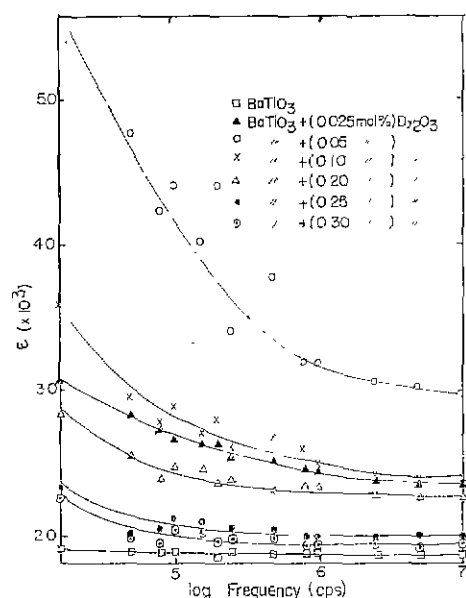


Fig. 3 Dielectric constant at room temperature as a function of frequency for pure BaTiO₃ and Dy₂O₃ doped BaTiO₃.

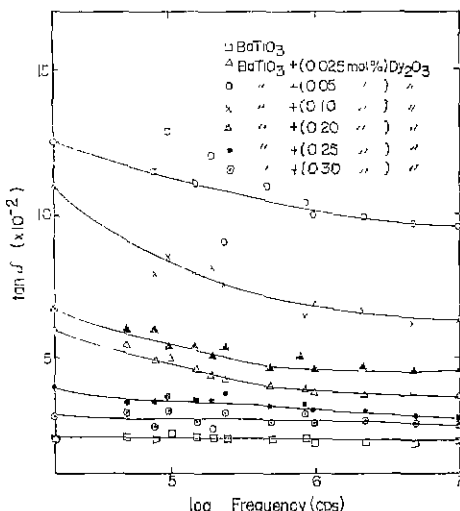


Fig. 4 Dielectric loss factor at room temperature as a function of frequency for pure BaTiO₃ and Dy₂O₃ doped BaTiO₃.

(결정립의 크기)가 감소되는 경향을 보여준다.

고온에서 소결된 BaTiO₃는 TiO₂와 같이 산소가 결핍된 상태로 Ti⁴⁺는 산소 결핍상태와 평형을 이루게 되어 Ti³⁺와 산소 공위를 갖게 된다⁴⁾. 공기중에서 냉

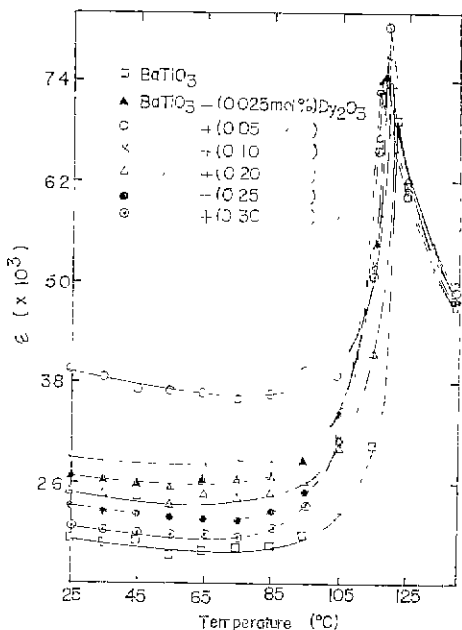


Fig. 5 Dielectric constant at 75KHz as a function of temperature for pure BaTiO_3 and Dy_2O_3 doped BaTiO_3

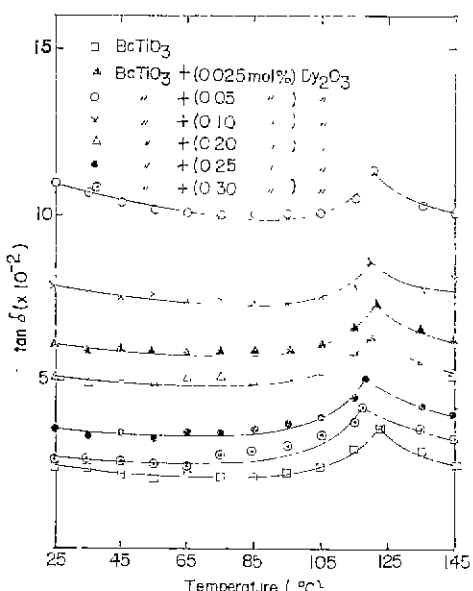


Fig. 6 Dielectric loss factor at 75KHz as a function of temperature for pure BaTiO_3 and Dy_2O_3 doped BaTiO_3

각종 Ti^{+3} 의 소멸속도는 산소가 BaTiO_3 에 확산되는 속도에 의존한다. 즉 확산되는 속도는 BaTiO_3 내의 산소공위수에 의존하게 되므로 Ti^{+3} 가 Ti^{+4} 로의 변환은 화학양론에 가까워 질수록 감소한다. BaTiO_3 에 Dy_2O_3 를 첨가한 시편은 푸른색을 띠었다. 이와같은 현상은 $\text{BaTiO}_3 + x\text{Dy} = \text{Ba}_{(1-x)}\text{Dy}_{x/2}\text{Ti}_{4-x}^{+3}\text{Ti}_{x}^{+4}\text{O}_3^{-2}$ 와 같은 결합반응식으로 표시할 수 있는 바와같이 Ba^{+2} 자리에 Dy^{+3} 가 치환되고 전하보정을 위하여 Ti^{+4} 가 Ti^{+3} 으로 변하게 된다.

따라서 BaTiO_3 에 Dy_2O_3 의 첨가로 색을 빼게된다. 주파수가 증가함에 따라 유전 상수의 감소는 Debye식⁵⁾에 의거 유전 상수는 주파수의 제곱에 역비례하기 때문이다. 본 실현에서와 같은 낮은 주파수 범위에서의 유전 상수는 시편의 결정의 결합 혹은 불순물에 의한 space charge polarization에 크게 의존한다⁶⁾. 이와같은 결과는 이미 발표된 본 연구자들의 논문⁷⁻⁸⁾에서도 발표된 바있다. BaTiO_3 에 Dy_2O_3 를 첨가함으로써 Ba^{+2} 의 이온 반경 1.35\AA 과 Dy^{+3} 의 이온 반경 0.99\AA 의 차이 그리고 Ti^{+4} 이온이 T^{+3} 이온으로 전하의 빈환동으로 인한 space charge polarization으로 순수한 BaTiO_3 보다 높은 유전 상수의 값을 나타냈다. 그러나 같은 주파수 범위내에서 높은 유전 손실을 보여준 것은 Dy_2O_3 의 첨가로 BaTiO_3 의 내부에서 $\text{Ti}^{+4} + e = \text{Ti}^{+3}$ 와 같은 3d 전자의 이동에 따른다. 따라서 이때 생성된 전자의 이동은 d.c 전도도를 증가시켜주는 요인으로 높은 유전 손실을 보여주었다. 즉 낮은 주파수 범위에서 유전 손실의 증가는 d.c 전도도에 크게 의존한다⁹⁾.

Dy_2O_3 의 첨가량이 0.05mol%까지 증가됨에 따라 앞서 설명한 space charge polarization의 기여도로 유전 상수의 증가를 보여주었다. 그러나 0.05mol% 이상의 첨가제가 첨가됨에 따라 유전상수가 감소된 이유는 space charge polarization 효과보다 Okazaki 등¹⁰⁾의 설명과 같이 밀도가 증가함에 따라 공간 전하체가 제거되므로 유전 상수는 감소되었다고 하겠다. 본 실현에서는 Dy_2O_3 의 첨가로 인한 밀도의 변화가 결정립의 변화보다 유전 상수의 변화에 더 큰 역할을 하였다고 하겠다. 유전 상수 및 유전 손실이 $116\sim 122^\circ\text{C}$ 사이에서 급격한 변화를 보여준 것은 BaTiO_3 가 정방경계에서 등축정계로 전이 할 때 결정입체에서 발생된 기계적 응력에 기인된다고 할 수 있다. 이와 같은 현상은 BaTiO_3 에 Sm_2O_3 를 첨가시킨 Heywang의 논문¹¹⁾에서도 유전 상수가 Curie 점 부근에서 큰 변화를 이루었고, 특히 Drexler¹²⁾ 등은 BaTiO_3 에 2가 산화물을 첨가하였을 때 고용체가 형성되어 Curie 점이 낮아진다고

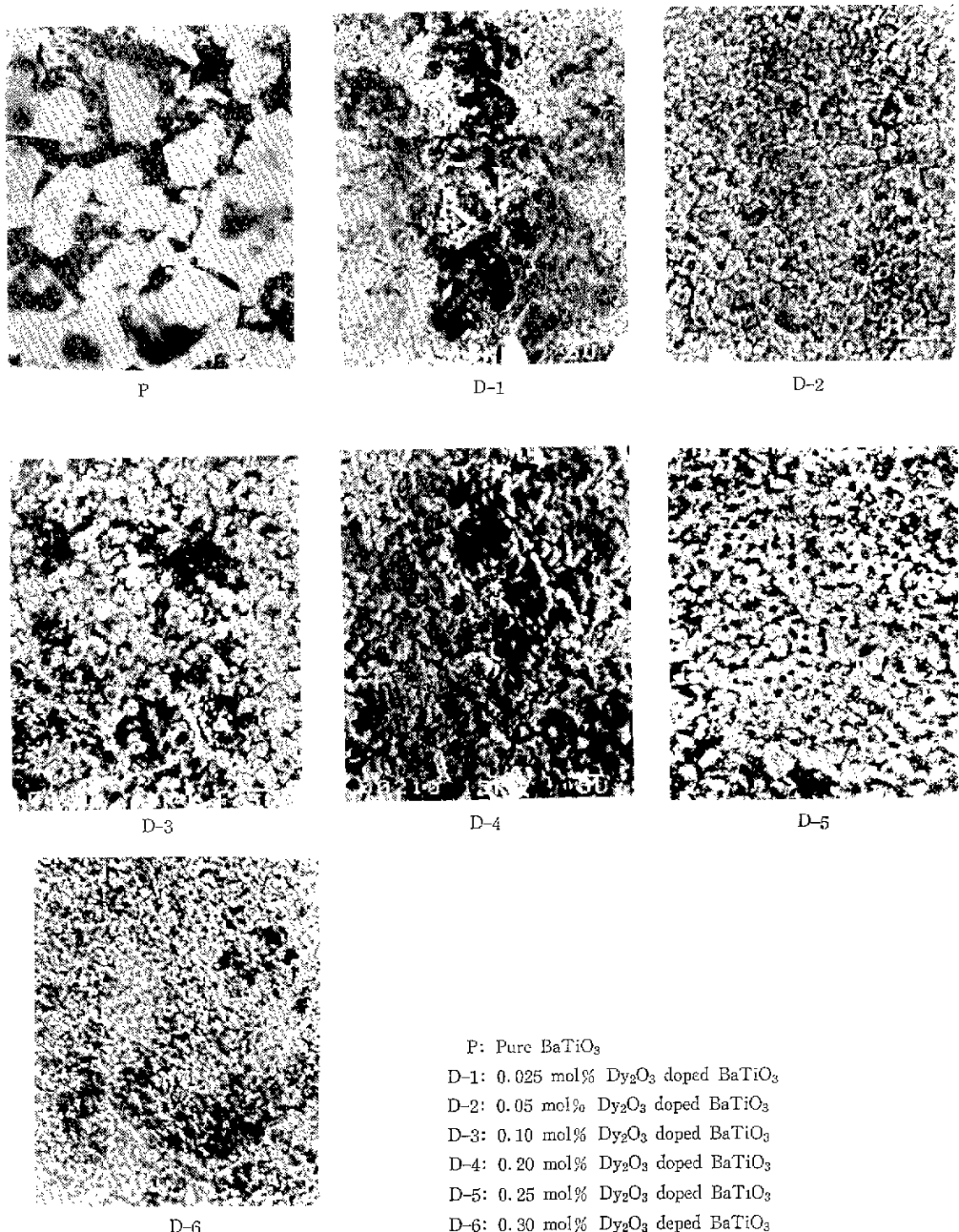


Fig. 7 Photographs of BaTiO₃ and Dy₂O₃ doped BaTiO₃

하였다. 그는 Nb, Ta, Sm 등의 산화물을 BaTiO_3 에 첨가하였을 때 제 2 상의 존재로 Curie 점이 변한다고 하였다. 그러나 본 실험에서는 제 2 상의 존재를 확인할 수 없었으며, 첨가제인 Dy^{+3} 과 Ba^{+2} 사이의 이온 반경의 차이로 인한 lattice distortion¹⁹으로 Curie 점이 122°C 로 부터 약 116°C 까지 낮아졌다고 하였다.

4. 결 론

1. BaTiO_3 에 Dy_2O_3 의 첨가량이 0.05mol%를 범위 안으로 0.05mol% 까지 증가함에 따라 space charge polarization 으로 유전상수는 증가하였으며 0.05mol% 이상 첨가시는 밸도의 증가로 인하여 유전 상수는 감소하였다.

2. Dy_2O_3 의 첨가로 Curie 점이 122°C 에서 약 116°C 까지 변하였으며 미세 유전상수의 급격한 변화를 보여 주었다.

References

1. T. Murakami and A. Yamaji, "Dy-Doped BaTiO_3 Ceramic for High Voltage Capacitor use", *Ceram. Bull.*, **55**(6), 572(1976)
2. K. S. Mazdiyasni and L. M. Brown, "Microstructure and Electrical Properties of Sc_2O_3 -Doped, Rare-Earth oxide doped, and undoped BaTiO_3 ", *J. Am. Cer. Soc.*, **54**(11), 539(1971)
3. K. H. Yoon, H. I. Song, S. O. Yoon and H. B. Lee, "Electrical Property of BaTiO_3 Ceramics (II)", *J. Kor. Cer. Soc.*, **18**(2), 75(1981)
4. K. Kulsca, "A Microstructure Study of Barium Titanate Ceramics," *J. Am. Cer. Soc.*, **39**(1) 13 (1956)
5. P. Debye "Polar Molecules", Chemical Catalog Co., New York, 1929
6. J. P. Bonsack, "Dielectric Properties of Barium Titanate Containing Niobium and the Effect of Additives", *Ceram. Bull.*, **50**, 488 (1971)
7. K. H. Yoon, C. S. Kim and Y. H. Kang, "Effect of Antimony Sesquioxide on the Dielectric Property of Rutile(TiO_2)", *J. Kor. Cer. Soc.*, **17** (2), 75 (1980)
8. K. H. Yoon, H. I. Song and C. S. Kim, "Effect of Zinc Oxide on the Dielectric Porperty of Rutile (TiO_2)", *J. Kor. Cer. Soc.*, **17**(2), 75(1980)
9. C. P. Smyth, "Dielectric Behavior and Structure", P189 McGraw-Hill Book Co. (New York 1955)
10. K. Okazaki and K. Nagata, "Effect of Grain Size and Porosity on Electrical and Optical Properties of PLZT Ceramics", *J. Am. Cer. Soc.*, **56**, 82 (1973)
11. W. Heywang, "Barium Titanate as a Semiconductor with Blocking Layers", *Solid State Electronics*, **3**(1). 51(1961)
12. O. Drexler and B. R. Schat, "Development of Ceramic Materials with a Dielectric Constant of 10000 at room Temperature", Science of Ceramic Academic Press, Vol 1, pp239-254(1961).
13. W. T. Peria, W.R. Bratschun and R.D. Fenity, "Possible Explanation of Positive Temperature Coefficient in Resistivity of Semiconducting Ferroelectrics", *J. Am. Cer. Soc.*, **44**(5), 249(1961)